

ЛЕСОЭКСПЛУАТАЦИЯ

УДК 625.31.001.24

УСТОЙЧИВОСТЬ ТЕМПЕРАТУРНО-НАПРЯЖЕННОГО ПУТИ  
ПРИ АСИММЕТРИЧНОМ ИЗМЕНЕНИИ СИЛ СОПРОТИВЛЕНИЯ

С. И. МОРОЗОВ

Архангельский лесотехнический институт

Устойчивость температурно-напряженного железнодорожного пути в настоящее время рассчитывают при симметричном изменении сил сопротивления рельсошпальной решетки [1, 3, 4]. На практике, однако, возможны случаи, когда силы сопротивления асимметричны, например, при производстве путевых работ, связанных с ослаблением рельсошпальной решетки.

В статье рассмотрено влияние асимметрии на устойчивость пути в общем случае и дана оценка этого фактора для частного случая. Ниже использованы следующие предпосылки:

рельсошпальная решетка заменяется балкой постоянного поперечного сечения эквивалентной жесткостью  $EI$  в горизонтальной плоскости; изгиб пути происходит в зоне начальной неровности его оси, которая аппроксимирована уравнением:

$$y_z = 0,5f_0 (1 - \cos \beta z), \tag{1}$$

где  $\beta = \pi/z_0$ ;

$f_0, z_0$  — стрела прогиба и половина длины неровности;

$z = x - x_n, y_z$  — текущая абсцисса и ордината неровности;

искривленный участок плавно сопрягается с прилегающими прямолинейными частями, поэтому  $y(0) = y'(0) = y''(0) = y(l) = y'(l) = y''(l) = 0$ ;

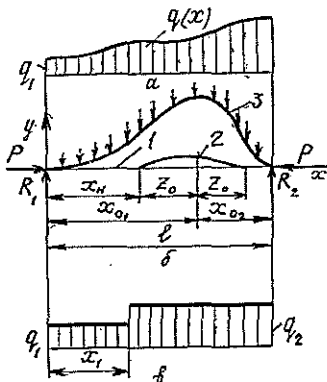
интенсивность распределенных сил сопротивления  $q = q(x)$  зависит от положения сечения по длине участка и не зависит от его поперечного смещения, т. е. в каждом сечении  $q = \text{const}$ ;

потеря устойчивости происходит в горизонтальной плоскости;

участок пути расположен на прямой.

Рис. 1. Расчетная схема.

$a$  — эпюра сил сопротивления в общем случае;  $b$  — изогнутый участок пути: 1 — начальное положение; 2 — начальная неровность; 3 — ось пути при искривлении;  $v$  — ступенчатая эпюра сил сопротивления.



Для решения задачи используем методику, приведенную в работе [3]. Расчетная схема приведена на рис. 1, дифференциальное уравнение изогнутой оси

$$EIy^{IV} = -Py'' - q(x) - Py_z'' \quad (2)$$

или

$$y^{IV} + k^2y = -n(x) - k^2y_z'', \quad (2a)$$

где  $k^2 = P/EI$ ;  $n(x) = q(x)/EI$ .

Решение дифференциального уравнения (2) в общем случае имеет вид [3]

$$\begin{aligned} y = & y(0) \cos kx + \frac{1}{k} y'(0) \sin kx + \frac{M_0}{EI k^2} (1 - \cos kx) + \\ & + \frac{R_1}{EI k^3} (kx - \sin kx) - \frac{1}{EI k^3} \int_0^x q(\xi) [k(x - \xi) - \sin k(x - \xi)] d\xi + \\ & + k \int_{x_H}^x y_z(\xi) \sin k(x - \xi) d\xi. \end{aligned} \quad (3)$$

Для заданных краевых условий получим

$$\begin{aligned} y = & \frac{R_1}{EI k^3} (kx - \sin kx) - \frac{1}{EI k^3} \int_0^x q(\xi) [k(x - \xi) - \sin k(x - \xi)] d\xi + \\ & + k \int_{x_H}^x y_z(\xi) \sin k(x - \xi) d\xi. \end{aligned} \quad (3a)$$

При определении прогибов на отдельных участках волны искривления имеем:

на участке  $0 \leq x \leq x_H$

$$y_1 = \frac{R_1}{EI k^3} (kx - \sin kx) - \frac{1}{EI k^3} \int_0^x q(\xi) [k(x - \xi) - \sin k(x - \xi)] d\xi; \quad (4)$$

на участке  $x_H \leq x \leq x_H + 2z_0$  (в зоне начальной неровности)

$$y_2 = y_1 + k \int_0^z y_z(\xi) \sin k(z - \xi) d\xi; \quad (5)$$

на участке  $x_H + 2z_0 \leq x \leq l$

$$y_3 = y_2 - k \int_0^u y_z(\xi) \sin k(u - \xi) d\xi, \quad (6)$$

где  $u = x - (x_H + 2z_0)$ ,  $z = x - x_H$ .

Для неровности, заданной уравнением (1), выражения (5) и (6) приводятся к виду:

$$y_2 = y_1 + \frac{f_0}{2} (1 - \lambda) \cos kz - \frac{f_0}{2} (1 - \lambda \cos \beta z); \quad (5a)$$

$$y_3 = y_1 + \frac{f_0}{2} (1 - \lambda) (\cos kz - \cos ku) + \frac{f_0}{2} \lambda (\cos \beta z - \cos \beta u), \quad (6a)$$

где  $\lambda = k^2 / (k^2 - \beta^2)$ .

Левую опорную реакцию найдем из условия  $y''(l) = 0$ , что дает

$$R_1 = \frac{1}{l} \int_0^l q(\xi)(l - \xi) d\xi. \quad (7)$$

Согласно методике, изложенной в работе [3], с помощью уравнений (4) — (6) на момент выброса рельсошпальной решетки необходимо определить критическое значение силы  $P$ , длину волны искривления, параметры критической неровности, для которой критическая сила минимальна.

Для определения этих характеристик устойчивости используем условия  $y(l) = y'(l) = 0$ . Так как в данном случае  $z = l - x_{0_1} + z_0$  и  $u = l - x_{0_1} - z_0$ , то:

$$\begin{aligned} \cos kz &= \cos k(l - x_{0_1} + z_0) = \cos k(x_{0_2} - z_0); \\ \cos ku &= \cos k(l - x_{0_1} - z_0) = \cos k(x_{0_2} + z_0); \\ \cos \beta u - \cos \beta z &= 0. \end{aligned}$$

Используя уравнение (6), получим:

$$\begin{aligned} \frac{R_1}{EIk^3} (kl - \sin kl) - \frac{1}{EIk^3} \int_0^l q(\xi)[k(l - \xi) - \sin k(l - \xi)] d\xi = \\ = f_0(1 - \lambda) \sin kx_{0_2} \sin kz_0; \end{aligned} \quad (8)$$

$$\begin{aligned} \frac{R_1}{EIk^3} (1 - \cos kl) - \frac{1}{EIk^3} \int_0^l q(\xi)[1 - \cos k(l - \xi)] d\xi = \\ = f_0(1 - \lambda) \cos kx_{0_2} \sin kz_0. \end{aligned} \quad (9)$$

Методика дальнейшего решения состоит в следующем:

а) исключаем  $kx_{0_2}$  из уравнения (8) и (9), для чего оба уравнения возводим в квадрат и складываем;

б) взяв от этого уравнения производную  $\partial k/\partial l$  и приравняв ее нулю, получим уравнение для определения параметра  $kl$ , соответствующего моменту выброса решетки;

в) взяв от этого же уравнения производную  $\partial k/\partial z_0$  и приравняв ее нулю, получим уравнение для определения параметра  $kz_0$ , соответствующего минимальной критической силе.

Критическую силу находим из уравнения, полученного в пункте (а). Разделив (8) на (9), получим выражение для определения  $kx_{0_2}$ .

Применение этой методики в общем виде приводит к громоздким выражениям, не имеющим практической ценности. Поэтому далее рассмотрим частный случай, когда силы сопротивления по длине участка изменяются по ступенчатому закону (рис. 1, в).

Используя (7), находим:

$$R_1 = \frac{1}{2l} [(q_1 - q_2)(2lx_1 - x_1^2) + q_2 l^2].$$

Обозначим для общности  $q_2/q_1 = m$ ,  $x_1/l = \alpha$ . Тогда

$$R_1 = q_1 l \cdot \frac{1}{2} [(1 - m)(2\alpha - \alpha^2) + m].$$

Наконец, полагая

$$B = 0,5[(1 - m)(2\alpha - \alpha^2) + m],$$

получим окончательно

$$R_1 = Bq_1 l. \quad (10)$$

Аналогично получаем выражения для интегралов в уравнениях (8) и (9)

$$\int_0^l q(\xi)[k(l-\xi) - \sin k(l-\xi)] d\xi = \frac{q_1}{k} k^2 l^2 B + \frac{q_1}{k} \Delta_1; \quad (11)$$

$$\int_0^l q(\xi)[1 - \cos k(l-\xi)] d\xi = \frac{q_1}{k} kl B_1 - \frac{q_1}{k} \Delta_2, \quad (12)$$

где  $B_1 = (1-m)\alpha + m$ ;

$$\Delta_1 = \cos kl - m - (1-m)\cos kl(1-\alpha);$$

$$\Delta_2 = (1-m)\sin kl(1-\alpha) - \sin kl.$$

Подставляем (10), (11) и (12) в уравнения (8) и (9). Преобразовывая, получим:

$$Bkl \sin kl + \Delta_1 = -\frac{k^4 EI}{q_1} f_0 (1-\lambda) \sin kx_0 \sin kz_0; \quad (13)$$

$$Bkl \cos kl + B_2 kl + \Delta_2 = -\frac{k^4 EI}{q_1} f_0 (1-\lambda) \cos kx_0 \sin kz_0, \quad (14)$$

где  $B_2 = B - B_1 = \frac{1}{2} [(1-m)\alpha^2 + m]$ .

Согласно приведенной выше методике, возводим оба уравнения в квадрат и складываем:

$$\begin{aligned} (Bkl \sin kl + \Delta_1)^2 + (Bkl \cos kl + B_2 kl + \Delta_2)^2 = \\ = \left[ \frac{k^4 EI}{q_1} f_0 (1-\lambda) \sin kz_0 \right]^2. \end{aligned} \quad (15)$$

С помощью уравнения (15) можно решить две задачи: определить критическую силу в зоне конкретной начальной неровности и минимальную критическую силу для участка пути произвольной длины.

Для определения значения  $kl$  на момент выброса решетки берем производную по  $kl$  от уравнения (15) и приравниваем ее нулю

$$\begin{aligned} (Bkl \sin kl + \Delta_1)[B(\sin kl + kl \cos kl) - \sin kl + \\ + (1-m)(1-\alpha) \sin kl(1-\alpha)] + (Bkl \cos kl + B_2 kl + \Delta_2)[B(\cos kl - \\ - kl \sin kl) - \cos kl + B_2 + (1-m)(1-\alpha) \cos kl(1-\alpha)] = 0. \end{aligned} \quad (16)$$

Наконец, разделив (13) на (14), получим:

$$\operatorname{tg} kx_0 = \frac{Bkl \sin kl + \Delta_1}{Bkl \cos kl + B_2 kl + \Delta_2}. \quad (17)$$

Правые части уравнения (15)

$$\Pi^2 = (Bkl \sin kl + \Delta_1)^2 + (Bkl \cos kl + B_2 kl + \Delta_2)^2,$$

а также правые части уравнений (16) и (17) имеют общий вид и не привязаны к какой-либо конкретной конструкции пути. Найденные с их помощью значения  $kl$ ,  $kx_0$ ,  $\Pi$  для ряда значений  $\alpha$  и  $m$  приведены в табл. 1. Эпюры сил сопротивления для каждого значения показаны на рис. 2.

Таблица 1

m	Значения kl, kx <sub>0</sub> , Π при α														
	0			0,25			0,50			0,75			1,00		
	kl	kx <sub>0</sub>	Π	kl	kx <sub>0</sub>	Π	kl	kx <sub>0</sub>	Π	kl	kx <sub>0</sub>	Π	kl	kx <sub>0</sub>	Π
1	2π	π	2π	2π	π	2π	2π	π	2π	2π	π	2π	2π	π	2π
2	2π	π	4π	6,38073	3,10456	12,05078	6,35511	2,96259	9,64053	6,17535	2,94839	6,93719	6,13483	2,81873	7,71200
3	2π	π	6π	6,42256	3,09381	17,86077	6,44850	2,8964	13,22727	6,14528	2,65882	9,47706	6,14528	2,65882	9,47706
5	2π	π	10π	6,4600	3,08598	29,51094	6,58626	2,84528	20,66456	6,32477	2,48399	14,54297	6,32477	2,48399	14,54297
10	2π	π	20π	6,49068	3,08065	58,57488	6,75690	2,81236	39,74407						

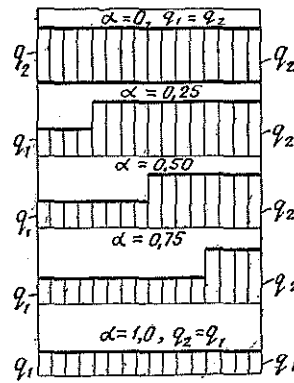


Рис. 2. Эпюры сил сопротивления.

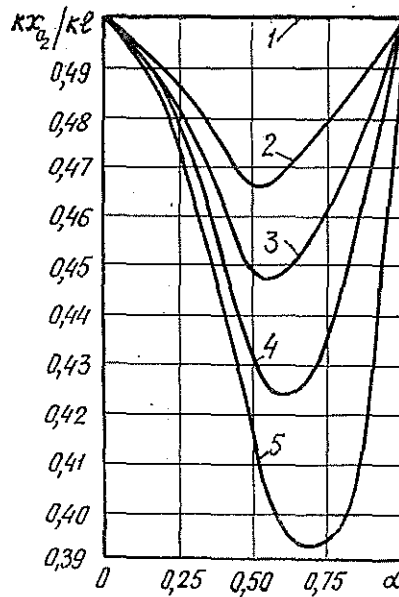


Рис. 3. Графики асимметрии прогибов.

1 - m = 1; 2 - m = 2; 3 - m = 3; 4 - m = 5; 5 - m = 10.

Случай, когда  $\alpha = 0$ ,  $\alpha = 1$  и  $m = 1$  (при любом  $\alpha$ ), соответствуют действию симметричных по длине участка сил сопротивления (равномерно распределенные по длине участка) различной интенсивности. Для всех них  $kl = 2\pi$ ,  $kx_0 = \pi$ . Для  $m = 1$

при любом  $\alpha$ , а также для  $\alpha = 1$  при любом  $m$  имеем  $\Pi = 2\pi$ . Для  $\alpha = 0$  имеем  $\Pi = 2\pi m$ .

При асимметрии сил сопротивления  $kx_0 \neq 1/2 kl$ , т. е. волна искривления будет также асимметричной. Степень асимметрии зависит от  $m$  и  $\alpha$  и характеризуется графиками, приведенными на рис. 3.

Значение критической силы в зоне данной конкретной неровности определяется по формуле

$$P_{кр} = \sqrt{\frac{\Pi q_1 EI}{f_0(1-\lambda) \sin kz_0}} \quad (18)$$

Так как параметр  $k$  выражается через  $P$ , то уравнение (18) надо решать итерационным способом. Значение силы  $P_{кр}$  зависит от длины  $2z_0$  и стрелы прогиба  $f_0$  неровности на данном участке. Для примера в табл. 2 приведен ряд значений  $P_{кр}$ , вычисленных по формуле (18) при  $q_1 = 3$  Н/см,  $m = 3$ ,  $z_0 = 150$  см,  $EI = 32 \cdot 10^8$  Н·см<sup>2</sup>. Значения  $\Pi$  взяты из табл. 1.

Таблица 2

$f_0$ , см	Значения $P_{кр}$ , кН, при $\alpha$				
	0	0,25	0,50	0,75	1,00
0,20	750,4	731,7	636,9	499,8	456,7
0,25	676,4	659,8	575,6	553,0	414,3
0,30	622,2	607,1	530,5	418,4	382,9

Пусть допускаемое значение  $P_{кр} = 622,2$  кН. В тех случаях, когда расчетное значение  $P_{кр}$  больше 622,2, то ослабление верхнего пути при ремонте, сопровождающееся асимметрией сил сопротивления, не приведет к снижению устойчивости рельсошпальной решетки; если расчетное значение  $P_{кр}$  меньше 622,2 кН, то устойчивость снижается, что требует введения ограничений на верхнюю температурную границу рельсов при производстве ремонтных работ.

Аналогично можно определить  $P_{кр}$  для других значений  $z_0$  и  $f_0$ .

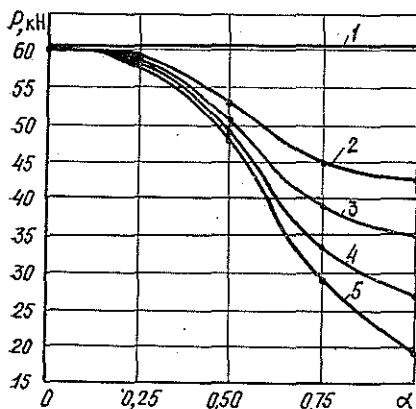


Рис. 4. Графики зависимости минимальной критической силы при ремонтных работах от  $\alpha$  для различных  $m$ . Обозначения см. на рис. 3.

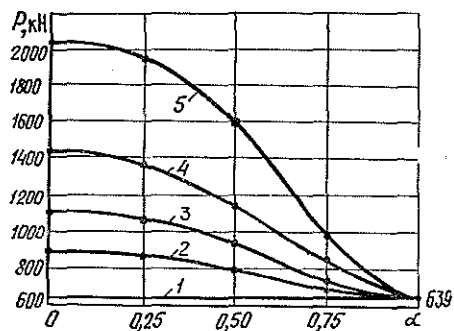


Рис. 5. Графики зависимости минимальной критической силы под поездом от  $\alpha$  для различных  $m$ . Обозначения те же.

Как показано в работе [2], имеются неровности критической длины, для которых значение  $P_{кр}$  минимально. Используя условие  $\partial P_{кр}/\partial z_0 = 0$  и применяя его к уравнению (15), т. е. дифференцируя его по  $kz_0$ , получим, что  $\min P_{кр}$  соответствует условию  $kz_0 = 2,63$ . Подставляя это значение в формулу (18), получим:

$$\min P_{кр} = \sqrt{\frac{\Pi q_1 EI}{1,64 f_0}} \quad (19)$$

Зависимости  $\min P_{кр}$  от  $\alpha$  для различных  $m$  при  $q_2 = 9$  Н/см,  $EI = 32 \cdot 10^8$  Н · см<sup>2</sup> и  $f_0 = 0,3$  см приведены на рис. 4. Можно отметить, что по мере увеличения  $m$  и  $\alpha$  степень уменьшения  $\min P_{кр}$  возрастает. В этих условиях длина участка искривления перед выбросом увеличивается. Так, для  $m = 10$  при  $\alpha = 0$  значение  $l$  составляет 456 см, а при  $\alpha = 1 - 812$  см, что равно длине одного звена рельса типа Р24. Изменяются также параметры, в частности, длина критической неровности (для рассматриваемого случая от 280 до 680 см). Степень асимметрии волны искривления возрастает.

Графики на рис. 4 относятся к случаю ослабления части пути при проведении ремонтных работ. На рис. 5 показаны графики изменения  $\min P_{кр}$  для другого случая — устойчивости пути под поездом, когда вследствие действия вертикальной нагрузки сопротивление части шпал поперечному сдвигу возрастает. В принципе графики на рис. 4 и 5 имеют одинаковую закономерность изменения  $\min P_{кр}(\alpha)$ , не являются кососимметричными.

Полученные расчетные зависимости позволяют оценить влияние асимметрии сил сопротивления на устойчивость температурно-напряженного железнодорожного пути. С их помощью можно решать различные практические задачи по расчету устойчивости рельсошпальной решетки при проведении ремонтных работ и под поездом.

#### ЛИТЕРАТУРА

- [1]. Бесстыковой путь. В. Г. Альбрехт, Е. М. Бромберг, Н. Б. Зверев и др. — М.: Транспорт, 1982. — 206 с. [2]. Морозов С. И. О критерии устойчивости железнодорожного пути. — Тр./ АЛТИ, 1971, вып. 27, с. 60—67. [3]. Морозов С. И. Аналитическое определение критической силы для температурно-напряженного железнодорожного пути на прямых участках. — Изв. высш. учеб. заведений. Лесн. журн., 1982, № 5, с. 46—54. [4]. Першин С. П. Методы расчета устойчивости бесстыкового пути. — Тр./ МИИТ, 1962, вып. 147, с. 28—96.

Поступила 9 июня 1986 г.

УДК 629.1.073

### МАТЕМАТИЧЕСКАЯ МОДЕЛЬ КУРСОВОГО ДВИЖЕНИЯ ЛЕСОВОЗНОГО АВТОПОЕЗДА

В. Г. ПУЗАНОВ, Н. И. БИБЛЮК

Львовский лесотехнический институт

Математическое моделирование процессов движения транспортных средств позволяет уже на стадии проектирования оценить совершенство их конструкции в соответствии с требованиями безопасности движения в общем транспортном потоке.

Существующие математические модели криволинейного курсового движения автопоездов общего назначения [3, 10, 11] не могут в полной мере быть применимы для лесовозных автопоездов-ропусков, отличаю-